

東北大工学部 正員 ○中島章典  
東北大工学部 正員 倉西茂

## 1. はじめに

現在、構造物の終局強度に関する研究が盛んに行われているが、風荷重や地震力などの動的荷重を受ける構造物の限界状態設計は確立されるまでには至っていない。特に、橋梁構造のように比較的細長い構造物は動的不安定性を有する場合が多く、その動的終局強度を明らかにすることが急がれている。そこで本研究では、静的圧縮軸力を受けている柱部材に軸直角方向周期外力が作用する場合の動的挙動を解析し、柱部材の動的強度特性を検討した。

## 2. 解析方法、解析モデル、パラメータ

動的荷重を受ける構造物の動的終局強度を求めるために、幾何学的非線形性および材料非線形性による非線形挙動を、修正荷重増分法により解析している。また、動的応答解析の数値積分法としてはNewmarkのB法( $\beta=1/4$ )を用いている。柱部材の解析モデルは図-1に示す単純支持された長さ10mの箱型断面柱とする。柱に作用する静的圧縮軸力Pは、部材長の $1/1000$ のたわみを有する柱の静的耐荷力 $P_{cr}$ に対して、

$P = \alpha P_{cr} \dots\dots\dots(1)$  と表わし、ここでは、 $\alpha = 0.5, 0.8$ と表わされる静的圧縮軸力が作用する場合を考える。柱の細長比は、30, 60, 90, 120, 150の5種類とする。有限要素解析において柱部材を10要素に分割し、また塑性域のひずみを考慮するために断面の分割数は12とし、残留応力は考慮しない。柱に作用する軸直角方向周期外力は、次式で与えられる正弦波加速度外力を表す。 $\ddot{\Phi} = Z \sin \omega t \dots\dots\dots(2)$  ここに、Zは入力加速度振幅、 $\omega$ はその円振動数である。中に質量が乗じられた慣性力として周期外力が作用する。最も大きい周期外力が作用する場合として、また1つの基準として、円振動数が柱の1次固有円振動数に等しい正弦波外力が10サイクル作用する場合を考える。応力・ひずみ関係は完全弾塑性型とし、降伏応力度は $2400 \text{ kg/cm}^2$ とする。

## 3. 数値計算結果

## (1) 基本的な応答性状

図-2には、細長比 $\lambda = 120$ 、静的耐荷力の $1/2$ の静的圧縮軸力が作用し( $\alpha = 0.5$ )、軸直角方向正弦波外力の入力加速度振幅 $Z = 600 \text{ gal}$ とした場合の柱中央部軸直角方向変位応答を示す。縦軸が変位応答を、横軸が時間を示す部材長、曲げ振動の1次固有円振動数で無次元化して表わしている。共振現象により、曲げ振動の振幅が増加し、ついに柱中央部付近の断面が軸力と曲げ作用により、塑性化する。断面の塑性化が始まると振幅が大きくなることはなくなり。

その後は振幅が徐々に減衰しながら残留変形が一方向に大きくなっていることがわかる。入力加速度振幅 $Z = 700 \text{ gal}$ とした場合の柱中央部軸直角方向変位応答を図-3に示すが、正弦波外力が10サイクル作用するまでに変位応答が発散して柱が崩壊に至っている。このとき、 $Z = 600 \text{ gal}$ の場合と反対側に残留変形が大きくなっているが、これは初めに大きく塑性化して残留変形が生じる方向に曲げ変形が発達しやすくなるためである。共

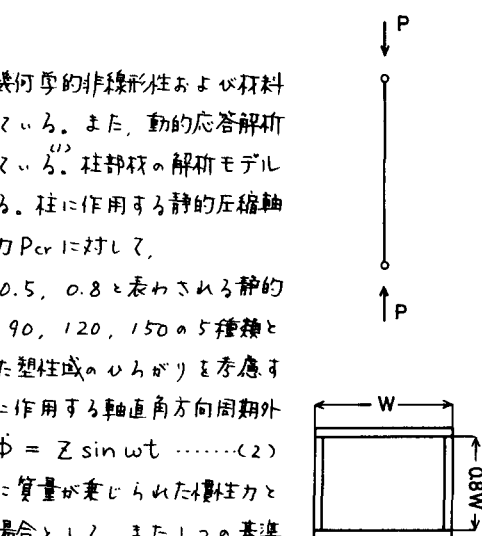
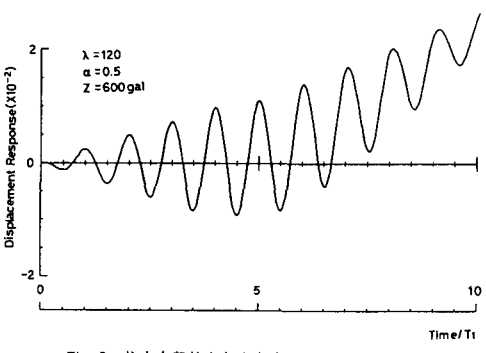


図-1 解析モデル

図-2 柱中央部軸直角方向変位応答 ( $Z = 600 \text{ gal}$ )

振現象により、 $\zeta$ 曲げ振動が発達し柱中央部付近の断面が塑性化すると残留変形が生ずるが、この残留変形が一方向にだけ大きくなる傾向、それに伴い、 $\zeta$ 振幅が減衰する傾向は柱部材の細長比、静的圧縮軸力、入力加速度振幅の大きさによらず一定である。

## (2) 動的崩壊性状に対する考察

静的圧縮軸力を受けている柱部材に軸直角方向正弦波外力が作用した場合の動的崩壊性状を考察するために、図-4に示す質点、剛棒、回転バネからなる自由度曲げ振動モデルを考える。mは質量、kは回転バネ定数、lは剛棒の長さ、yは水平変位、f(t)は周期外力を表わしており、質点には静的な鉛直方向荷重Pが作用している。また、回転バネの復元力特性は図-5に示す完全弾塑性型とする。図-4の振動モデルの支点におけるモーメントの釣合の方程式は、

$$lm\ddot{y} + R - \bar{P}y = lf(t) \quad \dots \dots \dots (3)$$

となる。ここに、Rは回転バネの復元力でありバネの弾性、塑性によるとえられる。近似的に  $\psi = y/l$  として、式(3)の両辺にyを掛け時刻t<sub>1</sub>からt<sub>2</sub>まで積分すれば、

$$\left[ \frac{1}{2}m\dot{y}^2 \right]_{y_1}^{y_2} + \int_{y_1}^{y_2} R d\psi - \bar{P} \left[ \frac{1}{2}y^2 \right]_{y_1}^{y_2} = \int_{t_1}^{t_2} f(t) \dot{y} dt \quad \dots \dots \dots (4)$$

となる。この式は、左辺第1項が運動エネルギー増分、第2項がひずみエネルギー増分、第3項が静的荷重による仕事増分、右辺が周期外力による入力エネルギー増分を示している。式(4)から、静的荷重による仕事増分は  $y_2^2 > y_1^2$  であるとき系にエネルギーを供給し、逆に  $y_2^2 < y_1^2$  のときは系から

エネルギーを吸収することがわかる。図-6には1自由度モデルに正弦波外力が作用した場合の変位応答を示す。共振現象により、 $\zeta$ 振幅が増加しふたねが塑性化すると残留変形が生じる。残留変形が生じるとその残留変形がしたてに一方向に大きくなり、それに伴い、 $\zeta$ 振幅が減衰する傾向、変位応答があら程度まで大きくなると変形が発散する傾向は柱部材の場合と同様である。これらの現象は式(4)第3項の静的荷重による仕事増分が動的挙動に及ぼす影響である。

次に、図-7には、共振正弦波外力が10サイクル作用する場合の柱部材の動的強度特性を検討した結果をまとめめる。縦軸が入力加速度振幅を、横軸が細長比を細長比パラメータで示している。○印が  $\alpha = 0.8$ 、△印が  $\alpha = 0.5$  の場合であり、黒く塗りつぶしたもののが崩壊に至ったことを示している。 $\alpha = 0.8$ では、 $\lambda = 60$ 以下と  $\lambda = 90$ 以上で動的強度に大きな差があることがわかる。また  $\alpha = 0.5$ では、動的強度がかなり大きくなっていることから、動的強度に及ぼす静的圧縮軸力の影響が大きいことがわかる。

《参考文献》 1. 倉西・中島：動的弾塑性解析において生ずる誤差について、工学会東北支部、1982、3

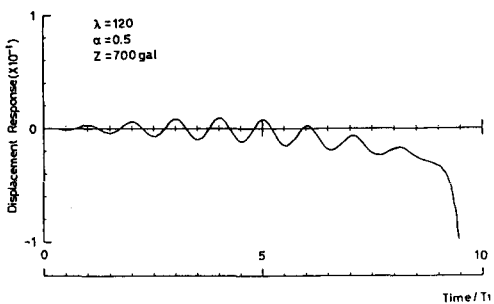


図-3 柱中央部軸直角方向変位応答 ( $Z = 700 \text{ gal}$ )

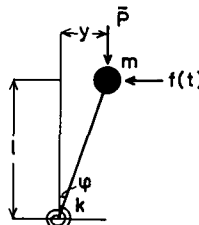


図-4 1自由度モデル

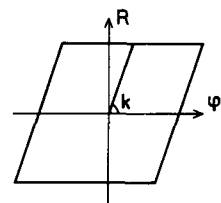


図-5 復元力特性

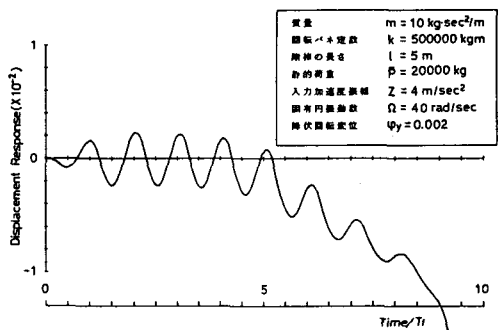


図-6 1自由度モデルの変位応答

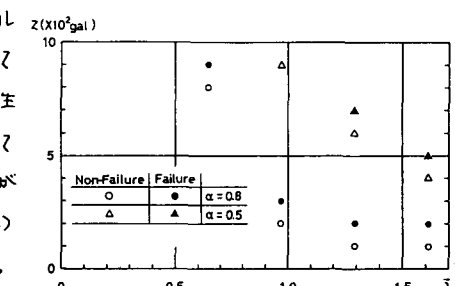


図-7 正弦波外力に対する動的強度特性